

บทที่ 4

ผลการวิจัยและการวิเคราะห์ผล

งานวิจัยนี้ได้ศึกษาความเป็นไปได้ในการปรับปรุงคุณภาพน้ำด้วยกระบวนการ Electro-coagulation โดยศึกษาทั้งในด้านประสิทธิภาพ ความคุ้มค่าทางเศรษฐศาสตร์และการใช้พลังงาน โดยมุ่งที่จะนำไปทดแทนระบบปรับปรุงคุณภาพน้ำด้วยการกรองทราย ดูดซับด้วยคาร์บอน และการแลกเปลี่ยนประจุด้วยเรซิน โดยเปรียบเทียบปรับประสิทธิภาพในการกำจัดความกระต้าง และสารแขวนลอยในน้ำ รวมถึงเปรียบเทียบค่าใช้จ่าย การประเมินทางด้านเศรษฐศาสตร์ และปริมาณพลังงานที่ใช้ในขั้นตอนการปรับปรุงคุณภาพน้ำดังแสดงในผลการทดลอง และการคำนวณดังนี้

4.1 การศึกษาสภาวะที่เหมาะสมในการปรับปรุงคุณภาพน้ำด้วยเทคนิค

Electro-coagulation

การทดลองปรับปรุงคุณภาพน้ำบาดาลโดยใช้แรงดันไฟฟ้าที่ระดับต่างกันทั้งหมด 4 ระดับคือ 5 Volt, 10 Volt, 15 Volt และ 20 Volt ทำการทดลองเป็นเวลา 60 นาทีเพื่อหาค่าแรงดันไฟฟ้าและระยะเวลาที่ทำให้ความกระต้างทั้งหมดของน้ำบาดาลดลงได้มากที่สุดโดยใช้ระยะเวลาในการทำปฏิกิริยา (Retention time) น้อยที่สุดเพื่อใช้ในการคำนวณขนาดถังปฏิกรณ์ ค่าใช้จ่ายและพลังงานที่ใช้ในการปรับปรุงคุณภาพน้ำสำหรับใช้ในระดับอุตสาหกรรมที่มีความต้องการน้ำ 120 ลบ.ม./วัน โดยในการทดลองนี้ได้เก็บตัวอย่างน้ำเมื่อระยะเวลาผ่านไปทุก 10 นาที และวิเคราะห์ค่าความนำไฟฟ้า (Conductivity) pH ปริมาณกระแสไฟฟ้าที่จ่ายให้กับขั้วไฟฟ้า และอุณหภูมิ จากนั้นปล่อยให้ตัวอย่างน้ำตกร่องเป็นเวลาอย่างน้อย 60 นาทีแล้วนำน้ำในส่วนที่ปราศจากตะกอนมาวิเคราะห์ความกระต้างของน้ำ ความชุ่ม และปริมาณอัลูมิเนียมที่เหลืออยู่ในน้ำได้ผลการทดลองเป็นดังนี้

4.1.1 ความสามารถในการกำจัดความกรະด้างและความชุน

ในแรงของความกรະด้าง ความสามารถในการกำจัดความกรະด้าง (%) Hardness removal) คำนวณจาก

$$\text{Hardness removal (\%)} = \frac{\text{ความกรະด้าง}_0 - \text{ความกรະด้างหลัง}_t}{\text{ความกรະด้าง}_0} \times 100$$

เมื่อ
 ความกรະด้าง₀ หมายถึงค่าความกรະด้างเริ่มต้นของน้ำ (mg/l as CaCO₃)
 ความกรະด้าง_t หมายถึงค่าความกรະด้างของน้ำหลังจากผ่าน Electro-coagulation
 ที่เวลา t (mg/l as CaCO₃)

จากการทดลองพบว่าการปรับปูงคุณภาพน้ำมาด้วยแรงดันไฟฟ้า 10 Volt เป็นเวลา 50 นาทีสามารถกำจัดความกรະด้างได้มากที่สุดจาก 302 mg/l as CaCO₃ เหลือเพียง 54 mg/l as CaCO₃ หรือคิดเป็น 82.12% ดังแสดงในตารางที่ 4.1

ตารางที่ 4.1 ความสามารถในการกำจัดความกรະด้างของน้ำด้วย Electro-coagulation โดยใช้แรงดันไฟฟ้า 5-20 Volt เป็นระยะเวลา 60 นาที

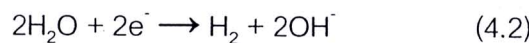
เวลา (นาที)	ความสามารถในการกำจัดความกรະด้างของน้ำ(%)			
	5 Volt	10 Volt	15 Volt	20 Volt
10	19.87	35.10	39.74	50.99
20	40.40	60.26	61.59	71.52
30	49.01	64.90	68.87	67.55
40	60.93	80.79	71.52	64.24
50	66.23	82.12	67.55	63.58
60	70.20	75.50	52.32	50.99

การที่นำมีความกรະด้างลดลงหลังจากผ่านกระบวนการ Electro-coagulation เริ่มจากเมื่อจ่ายกระแสไฟฟ้าให้แก่ขั้วไฟฟ้าจะเกิดปฏิกิริยาที่ขั้วไฟฟ้าทั้ง 2 ขั้วคือ 1) ที่ขั้ว Anode

โลหะอลูมิเนียมจะสูญเสียอิเล็กตรอนทำให้มีอิออนของอลูมิเนียมหลุดออกมاؤญูในน้ำอย่างอิสระ ดังสมการ(Malakootian และคณะ, 2009)



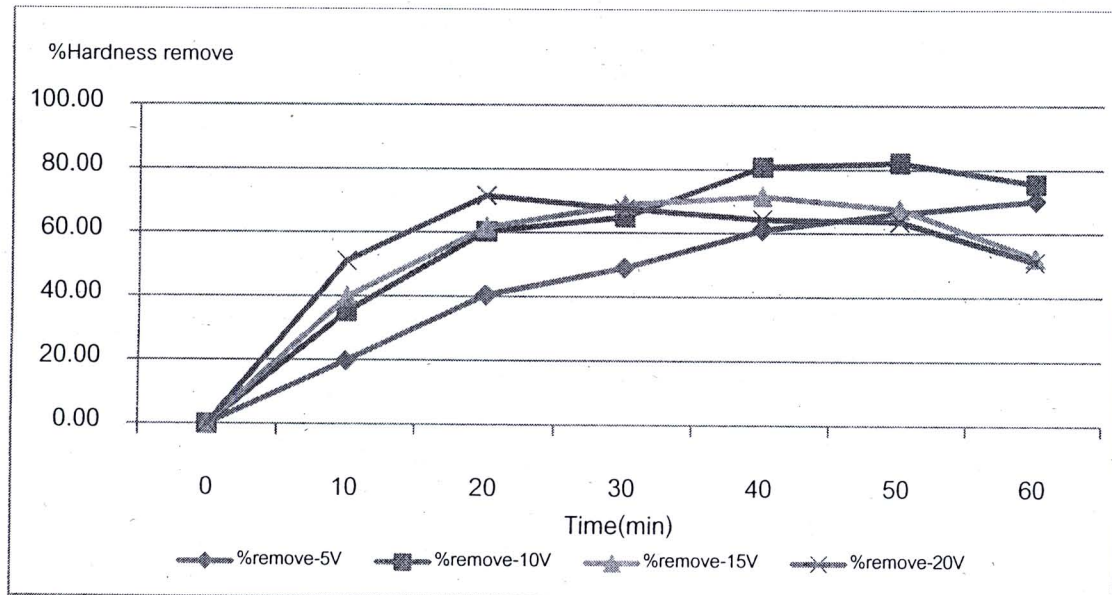
2) น้ำที่อยู่รอบๆ ขั้ว Cathode เมื่อได้รับอิเล็กตรอนจะแตกตัวเป็น H_2 และ OH^- ดังสมการ



ซึ่งในน้ำบาดาลตามธรรมชาติจะมี Ca^{2+} , Mg^{2+} และด่างจำพวก HCO_3^- ละลายอยู่ ในน้ำ เมื่อ HCO_3^- รวมกับ OH^- ที่เกิดบริเวณขั้ว Cathode จะแตกตัวเป็น CO_3^{2-} และน้ำดังสมการ



จากนั้น CO_3^{2-} ที่เกิดขึ้นนี้จะรวมกับ Ca^{2+} และ Mg^{2+} ที่มีอยู่แล้วในน้ำเกิดเป็น CaCO_3 และ MgCO_3 ซึ่งสามารถแยกออกจากน้ำได้จึงทำให้ความกรดด่างของน้ำบาดาลดลง



ภาพที่ 4.1 ประสิทธิภาพในการกำจัดความกรดด่างด้วย Electro-coagulation โดยใช้แรงดันไฟฟ้า 5-20 Volt เป็นระยะเวลา 60 นาที

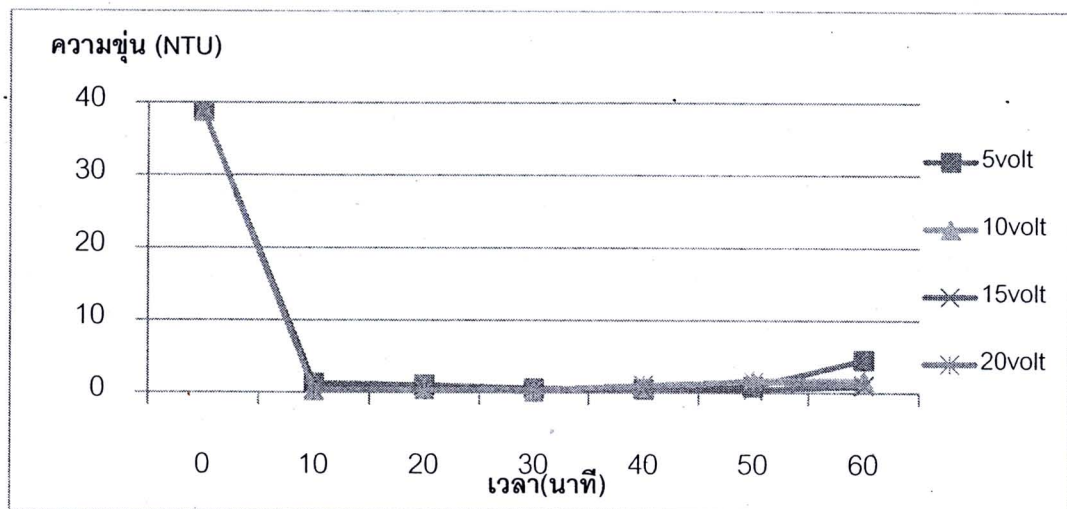
เมื่อนำค่าประสิทธิภาพในการกำจัดความกระด้างมาวิเคราะห์ในรูปของกราฟดังภาพที่ 4.1 พบว่าประสิทธิภาพในการกำจัดความกระด้างสูงที่สุดของแต่ละระดับแรงดันไฟฟ้าจะอยู่ในช่วงเวลา 40-50 นาที จากนั้นประสิทธิภาพในการกำจัดความกระด้างจะลดลงเล็กน้อยเมื่อเวลาผ่านไปซึ่งอาจมีสาเหตุมาจากคลูมิเนียมออกอนที่เกิดขึ้นมีปริมาณมาก ทำให้รวมกับเกลือหรือสารละลายอื่นๆ เกิดเป็นคลูมิเนียมคาร์บอเนตในน้ำแทนที่จะรวมกับแคลเซียมหรือแมกนีเซียมดังสมการ



ในส่วนของความชุนของน้ำบาดาลที่เปลี่ยนไปโดยวัดจากเครื่อง Turbidity meter แสดงได้ดังตารางที่ 4.2 และภาพที่ 4.2

ตารางที่ 4.2 ความชุนของน้ำหลังจากผ่าน Electro-coagulation โดยใช้แรงดันไฟฟ้า 5-20 Volt เป็นเวลา 60 นาที

เวลา(นาที)	5volt	10volt	15volt	20volt
0	38.70	38.70	38.70	38.70
10	1.29	0.27	0.42	0.28
20	1.05	0.49	0.95	0.32
30	0.59	0.14	0.42	0.38
40	0.49	0.80	0.40	1.05
50	0.88	1.68	0.41	1.58
60	4.54	1.69	0.94	1.15



ภาพที่ 4.2 ความชุ่นของน้ำหลังจากผ่าน Electro-coagulation โดยใช้แรงดันไฟฟ้า 5-20 Volt เป็นเวลา 60 นาที

จากการพบว่าความชุ่นลดลงจาก 38.7 NTU เหลือน้อยมากคืออยู่ในช่วง 0.14-1.68 NTU ในเวลาอันรวดเร็วเนื่องจากอัลูมิเนียมออกอนที่เกิดจากสมการ (4.1) เมื่อรวมกับ OH^- ที่เกิดจากสมการ (4.2) เกิดเป็นสารประกอบไฮดรอกไซด์ของอัลูมิเนียม $\text{Al}_2(\text{OH})_3$ ดังสมการ



ซึ่ง $\text{Al}(\text{OH})_3$ ที่เกิดขึ้นนี้จะรวมกับมลสารในน้ำโดยเฉพาะสารแขวนลอยเกิดเป็นตะกรอนที่มีขนาดใหญ่ขึ้นสามารถแยกออกจากน้ำได้ทำให้ความชุ่นของน้ำลดลงที่ผ่าน Electro-coagulation ลดลง

จากการที่ 4.2 เมื่อให้กระแสไฟฟ้าเป็นเวลานานเกินไปความชุ่นที่วัดได้กลับมีค่าเพิ่มขึ้นเล็กน้อยอาจมีสาเหตุมาจากการจ่ายกระแสไฟฟ้าอย่างต่อเนื่องเป็นเวลานานทำให้สารก่อตะกรอนเกิดขึ้นตลอดเวลาในปริมาณมากและจากเกิดเป็น Al_2CO_3 ดังสมการที่ 4.4 จึงไม่สามารถตกรตะกรอนได้หมดภายในระยะเวลาที่เท่ากันเมื่อเทียบกับการทำการทำทดลองที่ระยะเวลาอยู่กว่าซึ่งมีสารก่อตะกรอนเกิดขึ้นน้อยกว่าอย่างไรดีน้ำadalที่ผ่านการปรับปรุงคุณภาพด้วย Electro-coagulation มีความชุ่นน้อยกว่า 5 NTU ซึ่งมีคุณภาพดีเทียบเท่าความชุ่นตามมาตรฐานน้ำประปา

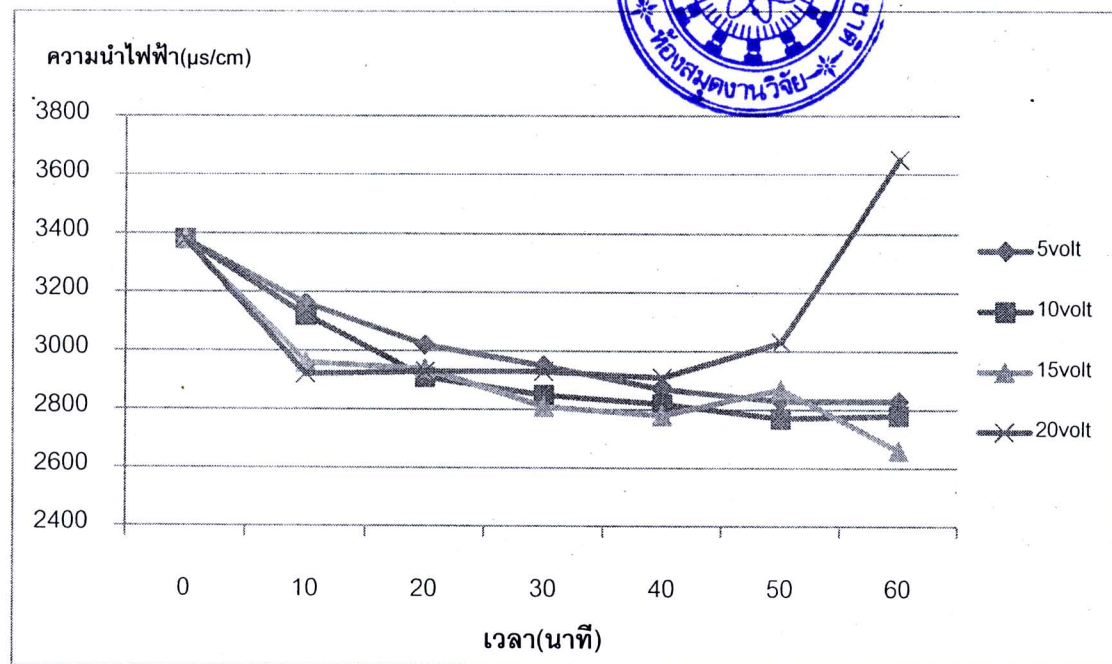
นอกจากนี้สารประกอบไฮดรอกไซด์ของอลูมิเนียมที่เกิดขึ้นจากข้าวไฟฟ้าอาจอยู่ในรูปต่างๆ ดังนี้ $\text{Al}(\text{H}_2\text{O})_6^{3+}$, $\text{Al}(\text{H}_2\text{O})_5\text{OH}^{2+}$, $\text{Al}(\text{H}_2\text{O})_4\text{OH}^+$ หรือในรูปของโมโนเมอร์หรือพอลิเมอร์ของ $\text{Al}(\text{OH})^{2+}$, $\text{Al}_2(\text{OH})_2^{4+}$, $\text{Al}_6(\text{OH})_{15}^{3+}$, $\text{Al}_{13}(\text{OH})_{34}^{5+}$ ซึ่งสารประกอบต่างๆ ที่เกิดขึ้นช่วยให้ประสิทธิภาพในการกำจัดมลสารอื่นๆ ได้เพิ่มขึ้นด้วยดังจะกล่าวในหัวข้อถัดไป (Malakootian และคณะ, 2009 ข้างถึงการวิเคราะห์ของ Jiang และคณะ, 2002; Bazrafshan และ Mahvi, 2007; Kim และคณะ, 2007; Druiche และคณะ, 2008)

4.1.2 ความสามารถในการลดปริมาณของแข็งละลายทั้งหมด (TDS)

ค่าปริมาณของแข็งละลายทั้งหมด (TDS) และค่าความนำไฟฟ้า (Conductivity) จะมีความสัมพันธ์กันเนื่องจากของแข็งละลายมักจะเป็นของแข็งประเทกเกลือซึ่งแตกตัวเป็นประจุ เมื่อเกิดการละลาย ทำให้ค่าการนำไฟฟ้ามีค่าสูงขึ้นโดยค่าความนำไฟฟ้า (Conductivity) และปริมาณของแข็งละลายน้ำ (TDS) ของน้ำที่ผ่าน Electro-coagulation แสดงไว้ในตารางที่ 4.3 จากตารางจะพบว่าค่าความนำไฟฟ้าและค่า TDS มีค่าลดลงจากที่สภาวะเริ่มต้นซึ่งมีสาเหตุมาจากสารประกอบไฮดรอกไซด์ของอลูมิเนียมที่เกิดขึ้นเมื่อร่วมกับมลสารที่มีประจุในน้ำแล้วเกิดเป็นตะกอนที่มีเสถียรภาพทางไฟฟ้าเมื่อแยกตะกอนออกไปแล้วจึงทำให้น้ำหลังจากผ่าน Electro-coagulation มีค่าความนำไฟฟ้า (Conductivity) และของแข็งละลายน้ำ (TDS) ลดลง

ตารางที่ 4.3 ค่าความนำไฟฟ้าและของแข็งละลายทั้งหมดในน้ำบาดาลที่ผ่านกระบวนการ Electro-coagulation โดยใช้แรงดันไฟฟ้า 5-20 Volt เป็นเวลา 60 นาที

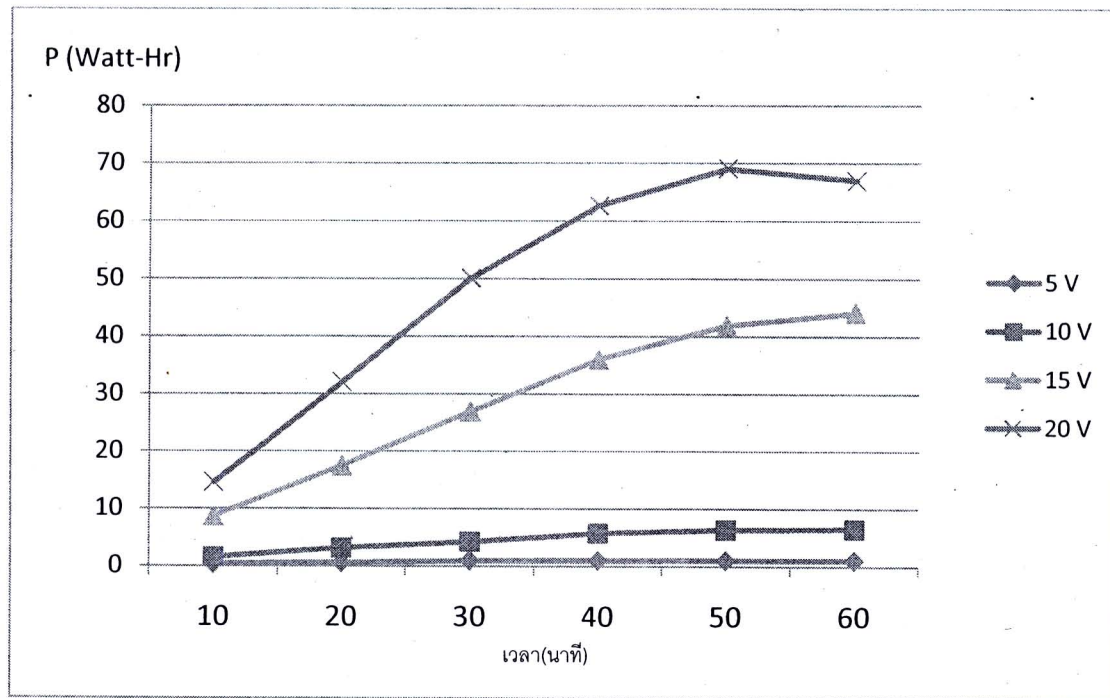
พารามิเตอร์	Conductivity ($\mu\text{s}/\text{cm}$)				TDS (mg/l)			
	5 Volt	10 Volt	15 Volt	20 Volt	5 Volt	10 Volt	15 Volt	20 Volt
เวลา (นาที)	5 Volt	10 Volt	15 Volt	20 Volt	5 Volt	10 Volt	15 Volt	20 Volt
0	3,380	3,380	3,380	3,380	1,701	1,701	1,701	1,701
10	3,160	3,120	2,960	2,920	1,576	1,560	1,480	1,459
20	3,020	2,910	2,940	2,930	1,525	1,453	1,469	1,464
30	2,950	2,850	2,810	2,930	1,477	1,427	1,404	1,465
40	2,870	2,820	2,780	2,910	1,437	1,409	1,433	1,457
50	2,830	2,770	2,870	3,030	1,413	1,387	1,436	1,516
60	2,830	2,780	2,660	3,650	1,414	1,392	1,330	1,823



ภาพที่ 4.3 ความนำไฟฟ้าของน้ำบาดาลที่ผ่านกระบวนการ Electro-coagulation โดยใช้แรงดันไฟฟ้า 5-20 Volt เป็นเวลา 60 นาที

จากการที่ 4.3 เป็นการนำข้อมูลค่าความนำไฟฟ้าที่เวลาต่างๆ ในตารางที่ 4.2 มาแสดงในรูปกราฟ จากภาพเมื่อทดลองที่ระดับแรงดันไฟฟ้า 20 Volt เป็นระยะเวลามากกว่า 40 นาทีพบว่าค่าความนำไฟฟ้าและของแข็งละลายกลับมีค่าเพิ่มขึ้น อาจมีสาเหตุมาจากการที่ข้าวไฟฟ้าได้รับพลังงานไฟฟ้าในปริมาณสูงดังแสดงในภาพที่ 4.4 ทำให้อลูมิเนียมอิโอนหลุดออกจากข้าวไฟฟ้าในรูปของ Al^{3+} ในปริมาณสูง ทำให้มีความนำไฟฟ้าสูงขึ้นซึ่งสังเกตุได้จากการสึกกร่อนของข้าวไฟฟ้าหลังจากการทดลองเป็นเวลา 60 นาที

นอกจากนี้สารละลายต่างๆ ที่อยู่ในน้ำบาดาลบางส่วนยังเปลี่ยนรูปเป็นผลึกของเกลือติดอยู่ที่ข้าวไฟฟ้า ส่งผลให้ข้าวไฟฟ้ามีความต้านทานสูงขึ้นเป็นการขัดขวางการปล่อยอิโอนของอลูมิเนียมจากข้าว Anode เมื่อได้รับกระแสไฟฟ้าจึงส่งผลให้ความหนาแน่นกระแสไฟฟ้าสูงขึ้น ตามเวลาที่เพิ่มขึ้นดังแสดงในกราฟความสัมพันธ์ของความหนาแน่นไฟฟ้าที่ระยะเวลาต่างๆ ในภาพที่ 4.4 ด้วยเหตุนี้ในการใช้งานจึงจำเป็นต้องทำความสะอาดด้วยข้าวไฟฟ้าเป็นระยะเพื่อไม่ให้มีผลึกของเกลือหรือสิ่งสกปรกจับที่ข้าวไฟฟ้าซึ่งทำให้สิ่นเปลืองพลังงานไฟฟ้า



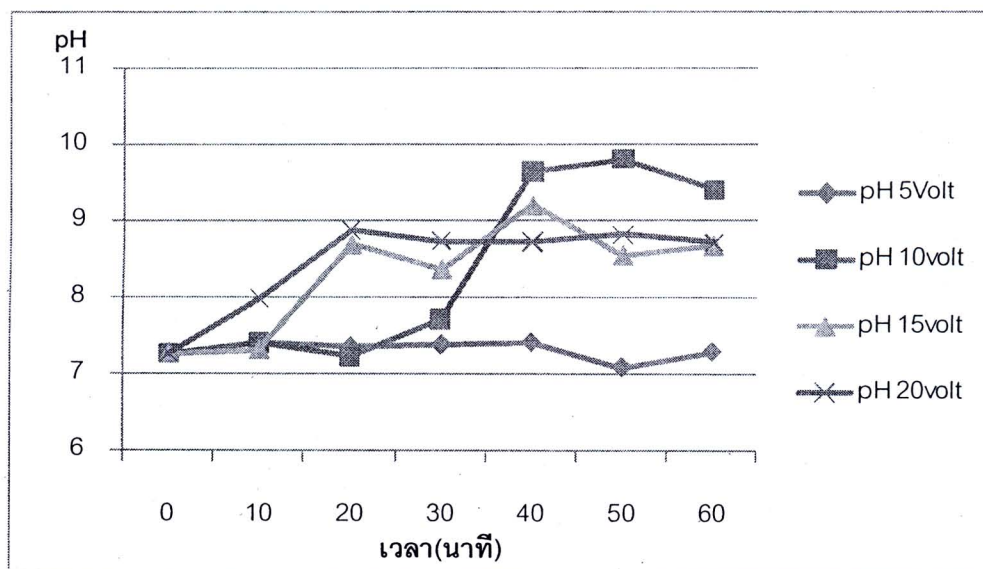
ภาพที่ 4.4 พลังงานไฟฟ้าเมื่อใช้แรงดันไฟฟ้า 5-20V เป็นเวลา 60 นาที

4.1.3 การเปลี่ยนแปลงของความเป็นกรด-ด่างและอุณหภูมิ

ในด้านความเป็นกรด-ด่าง OH^- ที่เกิดขึ้นจากปฏิกิริยาที่ขั้ว Cathode นอกจากจะรวมกับอلومิเนียมเกิดเป็นสารก่อตะกอนในรูปสารประกอบต่างๆ แล้วยังมี OH^- ส่วนที่เหลือละลายอยู่ในน้ำ จึงมีส่วนทำให้น้ำที่ผ่าน Electro-coagulation มีค่า pH สูงขึ้นกว่า pH เริ่มต้น เมื่อเวลาผ่านไปประมาณ OH^- เกิดมากขึ้นทำให้ pH สูงขึ้นตามเวลาดังแสดงค่าในตารางที่ 4.4 และภาพที่ 4.5 ซึ่งสอดคล้องกับผลการศึกษาของ Malakootian และคณะ(2010) ที่พบว่าค่า pH ของน้ำหลังจากผ่านกระบวนการ Electro-coagulation มีค่าเพิ่มขึ้นจากที่สภาวะเริ่มต้นเสมอ นอกจากนี้ยังมีผลการวิจัยของ Mouedhen และคณะ (2008) ที่ระบุว่าการที่ pH เพิ่มขึ้นนั้นอาจเกิดจากโดยปกติในน้ำมีสารประกอบของ Cl^- และ SO_4^{2-} ซึ่งจะแลกเปลี่ยนประจุกับ Al(OH)_3 ทำให้มี OH^- อิสระเพิ่มขึ้นส่งผลให้ค่า pH เพิ่มมากขึ้น

ตารางที่ 4.4 อุณหภูมิและ pH ของน้ำบาดาลที่ผ่านกระบวนการ Electro-coagulation
ด้วยแรงดัน 5-20 Volt เป็นเวลา 60 นาที

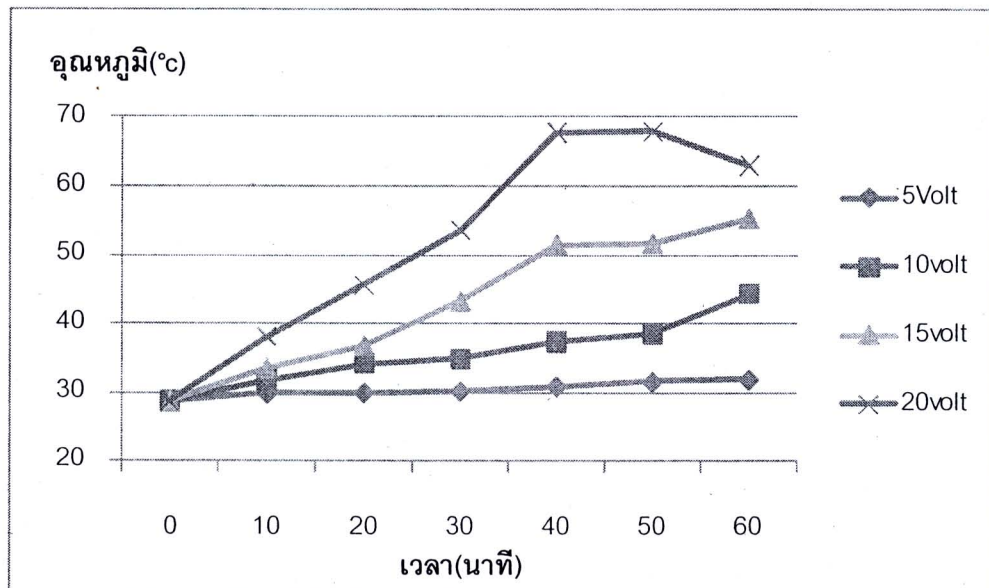
พารามิเตอร์	อุณหภูมิ ($^{\circ}\text{C}$)				ความเป็นกรด-ด่าง (pH)			
	5 Volt	10 Volt	15 Volt	20 Volt	5 Volt	10 Volt	15 Volt	20 Volt
เวลา(นาที)	28.7	28.7	28.7	28.7	7.27	7.27	7.27	7.27
0	28.7	28.7	28.7	28.7	7.27	7.27	7.27	7.27
10	29.9	31.7	33.5	38.0	7.41	7.41	7.32	7.98
20	30.0	34.1	36.8	45.6	7.35	7.22	8.69	8.87
30	30.2	34.8	43.2	53.5	7.38	7.72	8.37	8.73
40	30.9	37.3	51.4	67.8	7.41	9.64	9.20	8.72
50	31.6	38.5	51.6	67.9	7.09	9.80	8.55	8.81
60	31.9	44.3	55.2	63.0	7.29	9.40	8.67	8.71



ภาพที่ 4.5 การเปลี่ยนแปลงของค่า pH เมื่อใช้แรงดันไฟฟ้า 5-20 Volt เป็นเวลา 60 นาที

ส่วนการเปลี่ยนแปลงของอุณหภูมิ ผู้วิจัยพบว่า น้ำจะมีอุณหภูมิสูงขึ้นตามเวลาโดย เมื่อทดลองที่ระดับแรงดันไฟฟ้าที่สูงขึ้น อุณหภูมิของน้ำก็ยิ่งสูงมากขึ้นด้วยดังภาพที่ 4.6 เนื่องจาก การจ่ายกระแสไฟฟ้าให้กับข้าวไฟฟ้าที่แข็งอยู่ในตัวอย่างน้ำบาดาลทำให้น้ำได้รับการถ่ายเทพลังงาน จากข้าวไฟฟ้าในรูปของพลังงานความร้อนด้วย เมื่อพิจารณาค่าความกระด้างของน้ำที่ระดับ แรงดันไฟฟ้าและเวลาเดียวกันพบว่า อุณหภูมิที่สูงขึ้น ไม่ได้ส่งผลต่อประสิทธิภาพในการกำจัด

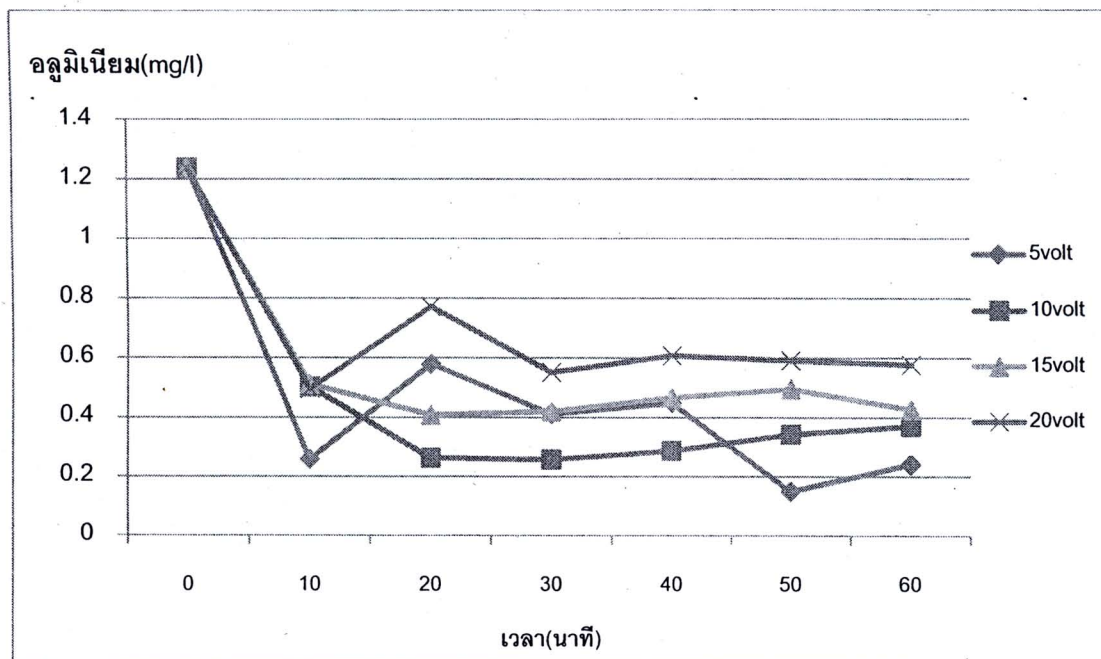
ความกระต้างของ Electro-coagulation แต่อย่างใด ซึ่งสอดคล้องกับผลการทดลองของจันทร์พิร พลากรุ่ล (2551) ที่ประยุกต์ใช้ Electro-coagulation โดยใช้เหล็กเป็นข้าไฟฟ้าในการบำบัดสี ของน้ำเสียจากโรงงานย้อมผ้าโดยทำการทดลองที่อุณหภูมิ 28 และ 60°C พบว่าที่อุณหภูมิ 60°C มีประสิทธิภาพในการกำจัดสีของน้ำเสียใกล้เคียงกับที่อุณหภูมิ 28°C



ภาพที่ 4.6 การเปลี่ยนแปลงอุณหภูมิเมื่อใช้แรงดันไฟฟ้า 5-20 Volt เป็นเวลา 60 นาที

4.1.4 ผลผลอยได้ด้านการกำจัดอัลูมิเนียม

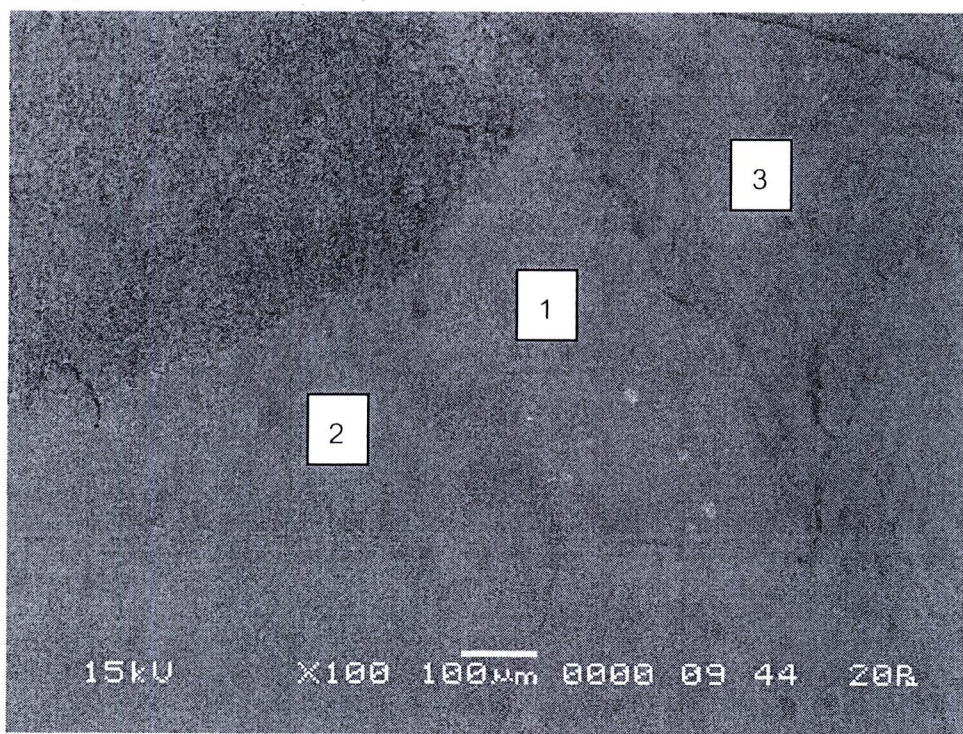
จากการวิเคราะห์ปริมาณอัลูมิเนียมด้วยเครื่อง Atomic Absorption Spectrophotometer ที่อยู่ในน้ำดาลตั้งภาพที่ 4.7 พบว่า ปริมาณอัลูมิเนียมที่อยู่ในน้ำดาล ก่อนการปรับปรุงคุณภาพน้ำด้วย Electro-coagulation เท่ากับ 1.237 mg/l เมื่อผ่านการปรับปรุง คุณภาพด้วย Electro-coagulation และทิ้งให้ตกตะกอนแล้วนำไปวิเคราะห์ปริมาณอัลูมิเนียมที่เหลืออยู่ในน้ำพบว่ามีค่าลดลงอยู่ในช่วง 0.258 – 0.772 mg/l ทั้งนี้อาจเนื่องจากอัลูมิเนียมที่มีอยู่ แล้วในน้ำดาลตามธรรมชาติรวมถึงอัลูมิเนียมที่เกิดขึ้นที่ขั้ว Anode ในสภาวะที่เป็นด่างเกิดเป็น สารประกอบออกไซด์ของอัลูมิเนียมและตกตะกอนแยกออกจากน้ำ



ภาพที่ 4.7 ค่าเฉลี่ยปริมาณอัลูมิเนียมในน้ำ (mg/l) หลังจากปรับปูรุ่งด้วย Electro-coagulation โดยใช้แรงดันไฟฟ้า 5-20 Volt เป็นเวลา 60 นาที และผ่านการตกรตะกอนเป็นเวลา 60 นาที

4.1.5 การวิเคราะห์ธาตุในตะกอนจากการปรับปูรุ่งคุณภาพน้ำด้วย Electro-coagulation

เมื่อนำตะกอนไปถ่ายภาพขยายด้วยเครื่อง Scanning Electron Microscope (SEM) ดังภาพที่ 4.8 และวิเคราะห์ธาตุในตะกอนด้วยเครื่อง Energy Dispersive X-ray Spectrometer พบว่ามีปริมาณอัลูมิเนียมในตะกอนมากที่สุด นอกจากนี้ยังมีธาตุอื่นๆ เช่นออกซิเจน แคลเซียม และแมกนีเซียมอยู่ในตะกอน เช่นเดียวกับดังผลการวิเคราะห์ในตารางที่ 4.5 ซึ่งปริมาณอัลูมิเนียม และออกซิเจนที่อยู่ในตะกอนน่าจะเป็นสารออกไซด์ของอัลูมิเนียมที่ทำให้เกิดตะกอน ผลการวิเคราะห์แสดงให้เห็นว่าประจุของอัลูมิเนียมจากขั้วไฟฟ้าไม่ได้ละลายปนเปื้อนไปกับน้ำหลังการปรับปูรุ่งคุณภาพน้ำด้วย Electro-coagulation จึงไม่จำเป็นต้องมีกระบวนการกำจัดโลหะก่อนนำไปใช้งาน



ภาพที่ 4.8 ภาพขยาย 100 เท่าของตะกอนจากการปรับปรุงคุณภาพน้ำด้วย Electro-coagulation
โดยใช้แรงดันไฟฟ้า 10 Volt เป็นเวลา 40 นาที

ตารางที่ 4.5 ปริมาณธาตุในตะกอนของน้ำบาดาลที่ผ่านการปรับปรุงคุณภาพน้ำด้วย Electro-coagulation ที่แรงดัน 10 Volt เป็นเวลา 40 นาที

จุดที่ 1			จุดที่ 2			จุดที่ 3		
Element	Weight %	Atomic %	Element	Weight %	Atomic %	Element	Weight %	Atomic %
C	5.74	9.56	C	4.03	6.78	C	4.38	7.36
O	42.08	52.67	O	43.36	54.79	O	43.73	55.14
Na	0.30	0.26	Na	0.29	0.25	Na	0.46	0.40
Mg	0.72	0.59	Mg	0.63	0.53	Mg	2.35	1.95
Al	45.03	33.42	Al	45.81	34.33	Al	38.21	28.57
Si	0.79	0.56	Si	0.36	0.26	Si	4.92	3.53
S	0.83	0.52	S	0.98	0.62	S	0.83	0.52
Cl	2.46	1.39	Cl	2.30	1.31	Cl	1.90	1.08
Ca	2.07	1.03	Ca	2.24	1.13	Ca	1.89	0.95
-	-	-	-	-	-	Mn	0.24	0.09
-	-	-	-	-	-	Fe	1.10	0.40
Total	100.00	100.00	Total	100.00	100.00	Total	100.00	100.00

4.2 การเปรียบเทียบประสิทธิภาพในการปรับปรุงคุณภาพน้ำบาดาลของระบบ Electro-coagulation กับการกรองทรายและการดูดซับด้วยคาร์บอน

เมื่อทำการเปรียบเทียบกับระบบการกรองด้วยทรายและการดูดซับด้วยคาร์บอนแล้ว พบว่า การปรับปรุงคุณภาพน้ำด้วย Electro-coagulation มีประสิทธิภาพในการลดความนำไฟฟ้าของแข็งละลายในน้ำทั้งหมดรวมทั้งยังกำจัดความชื้นและความกระต้างของน้ำบาดาลมากกว่า การกรองด้วยทราย และการดูดซับด้วยคาร์บอนดังแสดงในตารางที่ 4.6 โดยน้ำบาดาลที่ 2-4 คือ น้ำบาดาลที่ผ่านการบำบัดด้วยกระบวนการต่างๆ

ตารางที่ 4.6 ประสิทธิภาพของการปรับปรุงคุณภาพน้ำด้วยการกรองทราย ดูดซับด้วยคาร์บอน

เทียบกับวิธี Electro-coagulation

พารามิเตอร์	น้ำบาดาล 1	น้ำบาดาล 2	น้ำบาดาล 3	น้ำบาดาล 4
Conductivity ($\mu\text{s}/\text{cm}$)	3,320	3,320	3,630	2,840
TDS (mg/l)	1,659	1,661	1,817	1,418
Turbidity (NTU)	12.35	3.40	3.36	0.09
Hardness (mg/l as CaCO_3)	300	304	342	60

เมื่อ น้ำบาดาล 1 คือตัวอย่างน้ำบาดาลที่สูบจากบ่อบาดาลโดยตรง
 น้ำบาดาล 2 คือน้ำบาดาลที่สูบจากบ่อบาดาลและผ่านการกรองทราย
 น้ำบาดาล 3 คือน้ำบาดาลที่ผ่านการกรองทรายและดูดซับด้วยคาร์บอน
 น้ำบาดาล 4 คือน้ำบาดาลที่ผ่าน Electro-coagulation

สำหรับการเปรียบเทียบในส่วนของการกำจัดความกระด้างโดยใช้วิธีแลกเปลี่ยนประจุด้วยเรซิน กับวิธี Electro-coagulation นั้นไม่สามารถทำได้โดยตรงเนื่องจากในสภาพการใช้งานจริงทางโรงงานที่เป็นกรณีศึกษาได้นำน้ำบาดาลที่ผ่านการปรับปรุงคุณภาพน้ำด้วยการกรองทราย และดูดซับด้วยคาร์บอน เก็บในถังเก็บน้ำรวมกับน้ำประปาก่อนที่น้ำจะผ่านกระบวนการแลกเปลี่ยนประจุด้วยเรซิน เพื่อให้เป็นน้ำป้อนสำหรับหอฟิล์เตอร์เย็น ผู้วิจัยจึงได้นำน้ำบาดาลที่ผ่านการกรองทรายและดูดซับด้วยคาร์บอนแล้ว มาผสมกับน้ำประปาในอัตราส่วน 1:9 มาทำการทดลองปรับปรุงคุณภาพน้ำด้วย Electro-coagulation เพื่อเปรียบเทียบกับการปรับปรุงคุณภาพน้ำด้วยการแลกเปลี่ยนประจุด้วยเรซินจากโรงงานกรณีศึกษาดังผลการทดลองในตารางที่ 4.7 สำหรับอัตราส่วนผสมของน้ำบาดาลต่อน้ำประปา 1:9 ที่ใช้ในการทดลองนี้เป็นค่าเฉลี่ยจากการศึกษาข้อมูลสัดส่วนการใช้น้ำของโรงงานกรณีศึกษา

ตารางที่ 4.7 ความกระด้างของน้ำ ($\text{mg/l as } \text{CaCO}_3$) เมื่อผ่านการปรับปรุงด้วย Electro-coagulation ด้วยแรงดันไฟฟ้า 10 Volt เป็นเวลา 40 นาทีเทียบกับการแลกเปลี่ยนประจุด้วยเรซิน

พารามิเตอร์	น้ำบาดาลผสมน้ำประปา (1:9)	Electro-coagulation	แลกเปลี่ยนประจุด้วยเรซิน
ความกระด้างของน้ำ	114	34	0

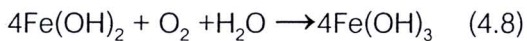
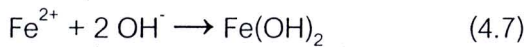
จากผลการทดลองดังตารางที่ 4.7 พบว่าการกำจัดความกระด้างด้วยวิธีแลกเปลี่ยนประจุด้วยเรซินสามารถกำจัดความกระด้างได้ดีกว่าการใช้วิธี Electro-coagulation มากกว่า 3 เท่าแต่เมื่อวิเคราะห์ด้วยดัชนี LSI และ RSI ดังแสดงในตารางที่ 4.8 พบว่า น้ำที่ผ่านการแลกเปลี่ยนประจุด้วยเรซินซึ่งปราศจากความกระด้างนั้นมีแนวโน้มที่จะทำให้วัสดุที่เป็นโลหะเกิดการกัดกร่อน เนื่องจากตามธรรมชาติเมื่อโลหะเข่นเหล็กสัมผัสถกับน้ำ อากาศ หรือความชื้นจะเกิดปฏิกิริยาออกซิเดชัน ให้ออนของเหล็กดังสมการ



และตามธรรมชาติของน้ำจะแตกตัวเป็น



Fe^{2+} ที่เกิดขึ้นเมื่อรวมกับ OH^- จะเกิดสารประกอบ ferrous hydroxide ซึ่งจะเกิดปฏิกิริยาที่ทำให้เกิดการกัดกร่อนเป็นสนิมเหล็กหรือ ferric hydroxide ต่อไปดังสมการ (Puckorius, 1999)



ในขณะที่น้ำหลังผ่านการปรับปูนคุณภาพด้วย Electro-coagulation ที่มีความกระด้างเล็กน้อยซึ่งมีแนวโน้มที่จะเกิดตะกรันบางๆ จะช่วยป้องกันการกัดกร่อนได้เนื่องจากตะกรันที่อาจเกิดขึ้นจะไปเคลือบผิวของวัสดุทำให้น้ำหรือออกซิเจนไม่สามารถสัมผัสถกับเหล็กได้โดยตรงจึงไม่เกิดการกัดกร่อนดังปฏิกิริยาที่กล่าวไป นอกจากนี้การที่มีลูมิเนียมอ่อนหลงเหลืออยู่ในน้ำเมื่อรวมกับ OH^- ก็จะเกิดเป็นสารประกอบ $\text{Al}(\text{OH})_3$ ตามสมการที่ (4.5) ซึ่งอาจมีส่วนช่วยชะลอการเกิดสนิมได้อีกด้วย

ตารางที่ 4.8 ดัชนี LSI และ RSI ของน้ำที่ผ่านการแลกเปลี่ยนประจุด้วยเรซินเปรียบเทียบกับน้ำที่ผ่าน electro-coagulation

ตัวอย่าง	LSI	LSI: Indication	RSI	RSI: Indication
ผ่าน Electro-coagulation	0.555	Little scale	8.009	Heavy corrosion
ผ่าน Softener	-1.853	Heavy corrosion	11.475	Intolerable corrosion

ที่มา: LSI และ RSI Indication จาก Geo-Heat Center, Oregon Institute of technology

ในทางปฏิบัติงานจริงการใช้น้ำที่ผ่านกระบวนการแลกเปลี่ยนประจุเดิมในหอพักเย็นผู้ปฏิบัติงานมักเติมสารเคมีที่มีธาตุสังกะสี (Zinc: Zn) เพื่อให้ธาตุสังกะสีเคลือบที่ผิวภายในห้องระบบแลกเปลี่ยนความร้อนและทำหน้าที่เป็นธาตุที่สูญเสียอิเล็กตรอนแทนโลหะที่ใช้ทำท่อหรือโครงสร้างของเครื่องแลกเปลี่ยนความร้อน ดังนั้นการทำให้น้ำป้อนสำหรับหอพักเย็นอยู่ในสมดุลหรือมีแนวโน้มไปในทางที่จะเกิดตะกรันเล็กน้อยจึงเป็นการลดโอกาสที่จะเกิดความสูญเสียที่โครงสร้างของหอพักเย็น และระบบท่อในการแลกเปลี่ยนความร้อนเนื่องจากการกัดกร่อนได้อีกด้วย

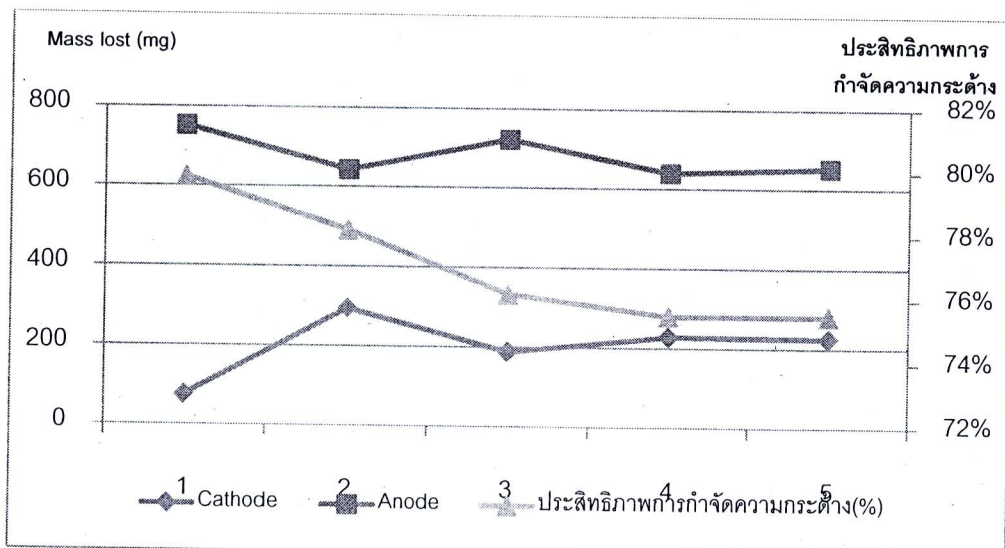
4.3 การวิเคราะห์อายุการใช้งานของข้าไฟฟ้า

จากผลการทดลองเพื่อหาอายุการใช้งานของข้าไฟฟ้าที่สูญเสียในการทำปฏิกิริยา Electro-coagulation ดังแสดงในตารางที่ 4.9 โดยน้ำหนักเริ่มต้นของข้าไฟฟ้าทั้ง 2 ข้าเป็น 19.495 g พบร่วมน้ำหนักของข้า Anode ลดลงมากกว่าข้า Cathode อย่างมากตามที่คาดไว้เนื่องจากการสูญเสียโลหะอลูминเนียมไปในรูปของอลูминเนียมออกอนที่ข้า Anode และเมื่อเปรียบเทียบประสิทธิภาพในการกำจัดความกระด้างเมื่อเวลาผ่านไปโดยใช้ข้าไฟฟ้าชุดเดิมทั้งหมด 5 ครั้งพบว่าประสิทธิภาพในการกำจัดความกระด้างลดลงจาก 80% เหลือ 75% คาดว่าเนื่องจากสาร

แขนงลอยและผลึกเกลือที่เกาะติดกับข้าไฟฟ้าขัดขาวอุดมเนียมออกอนที่เกิดจากข้า Anode โดยน้ำหนักของข้า Cathode ลดลงเฉลี่ย 1.06% ส่วนน้ำหนักของข้า Anode ลดลงเฉลี่ย 3.77% เมื่อใช้ข้าไฟฟ้าข้าในแต่ละครั้งโดยน้ำหนักของข้า Anode จะลดลงในปริมาณใกล้เคียงกันจึงสามารถคำนวณปริมาณอุดมเนียมที่ใช้ทำข้าไฟฟ้าดังแสดงในภาคผนวก ก สำหรับการประยุกต์ใช้ในการปฏิบัติงานจริงอาจยืดอายุการใช้งานของข้าไฟฟ้าได้โดยการสับเปลี่ยนอุดมเนียมจากข้า Anode มาเป็น Cathode

ตารางที่ 4.9 น้ำหนักของข้าไฟฟ้าที่ลดลงเมื่อผ่าน Electro-coagulation ครั้งละ 40 นาที
เปรียบเทียบกับประสิทธิภาพในการกำจัดความกรະด้างของน้ำ (%)

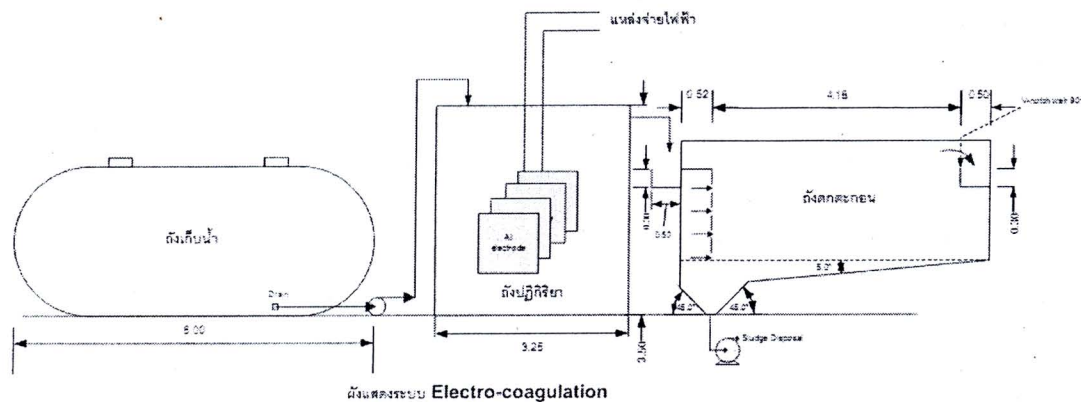
ครั้งที่ทำการ ทดลอง	น้ำหนักข้าไฟฟ้าที่ลดลง(mg)		ประสิทธิภาพการกำจัด ความกรະด้าง (%)
	Cathode	Anode	
1	75.30 (0.39%)	751.90 (3.86%)	80%
2	294.00 (1.51%)	643.00 (3.43%)	78%
3	188.30 (0.98%)	722.00 (3.99%)	76%
4	228.40 (1.21%)	640.30 (3.68%)	75%
5	225.20 (1.20%)	653.20 (3.90%)	75%



ภาพที่ 4.9 น้ำหนักของข้าไฟฟ้าที่ลดลงและประสิทธิภาพในการกำจัดความกรະด้างของน้ำ (%)
เมื่อผ่าน Electro-coagulation ด้วยแรงดันไฟฟ้า 10V เป็นเวลา 40 นาทีจำนวน 5 ครั้ง

4.4 การออกแบบถังปฏิกรรณ์ และถังตอกตะกอน

การปรับปรุงคุณภาพน้ำด้วย Electro-coagulation ที่ทำการออกแบบสำหรับใช้ทดแทนถังกรองทราย ถังดูดซับด้วยคาร์บอนและถังแลกเปลี่ยนประจุด้วยเรซินประกอบด้วย 1) ถังเก็บน้ำจากเหล็กเคลือบ Epoxy 2) ถังปฏิกรรณ์ Electro-coagulation ทำจากเหล็กเคลือบ Epoxy และ 3) ถังตอกตะกอนซึ่งมีการจัดวางถังดังภาพที่ 4.10



ภาพที่ 4.10 ผังระบบปรับปรุงคุณภาพน้ำด้วย Electro-coagulation

ถังเก็บน้ำบาดาล

ถังเก็บน้ำบาดาลซึ่งเป็นถังที่มีการใช้งานอยู่เดิมสำหรับเก็บน้ำบาดาลที่สูบน้ำมาจากบ่อบาดาลโดยตรง เป็นถังเก็บน้ำชนิดตั้งบนดินทรงแคบซูล (On ground water storage tank-capsule type) ผลิตจากไฟเบอร์กลาสเสริมแรงมีขนาดเส้นผ่าศูนย์กลาง 2.5 เมตรและยาว 6 เมตรความจุ 25 ลบ.ม. และมีเครื่องสูบน้ำขนาด 2.2 กิโลวัตต์เพื่อทำหน้าที่สูบน้ำเข้าสู่ถัง Electro-coagulation

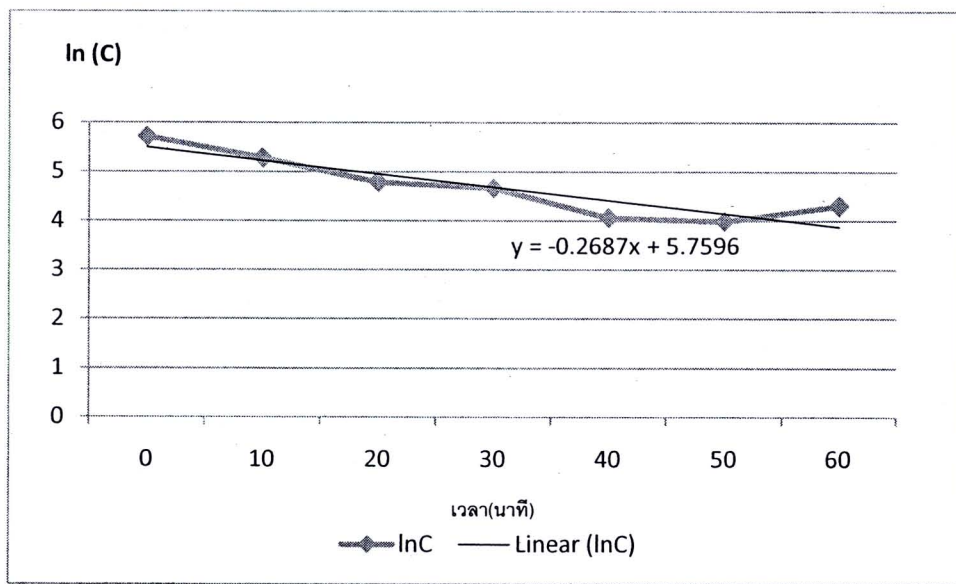
ถังปฏิกรรณ์ Electro-coagulation

จากการทดลองปรับปรุงคุณภาพน้ำบาดาลโดยใช้แรงดันไฟฟ้า 10 Volt เป็นเวลา 60 นาทีพบว่าความกว้างตัวของน้ำบาดาลดลลงในลักษณะการเกิดปฏิกิริยาอันดับ 1 ดังตารางที่ 4.10 และภาพที่ 4.11

ตารางที่ 4.10 ความกรະด่างของน้ำเทียบกับเวลาโดยใช้แรงดันไฟฟ้า 10 Volt เป็นเวลา 60 นาที

เวลา (นาที)	0	10	20	30	40	50	60
C	302	196	120	106	58	54	74
ln(C)	5.710	5.278	4.787	4.663	4.060	3.989	4.304

เมื่อ C คือความกรະด่างของน้ำ (mg/l as CaCO_3)



ภาพที่ 4.11 ความกรະด่างของน้ำที่ลดลงเมื่อใช้แรงดันไฟฟ้า 10 Volt เป็นเวลา 60 นาที

ตามปฏิกริยาอันดับ 1

จากภาพที่ 4.11 ค่าความชันของเส้นกราฟ (k) มีค่า 0.2687 ซึ่งนำไปคำนวณขนาดของถังปฏิกรณ์ที่มีการไหลแบบต่อเนื่องดังสมการ

$$\ln \frac{C_{in}}{C_{out}} = \frac{V k}{Q}$$

เมื่อ C_{in} คือ ปริมาณความกรະด่างของน้ำก่อนเข้าถังปฏิกรณ์เท่ากับ 302 mg/l as CaCO_3

C_{out} คือปริมาณความกระด้างของน้ำที่เหลือหลังผ่านถังปฏิกิริยานี้แล้วเท่ากับ 58

mg/l as CaCO_3

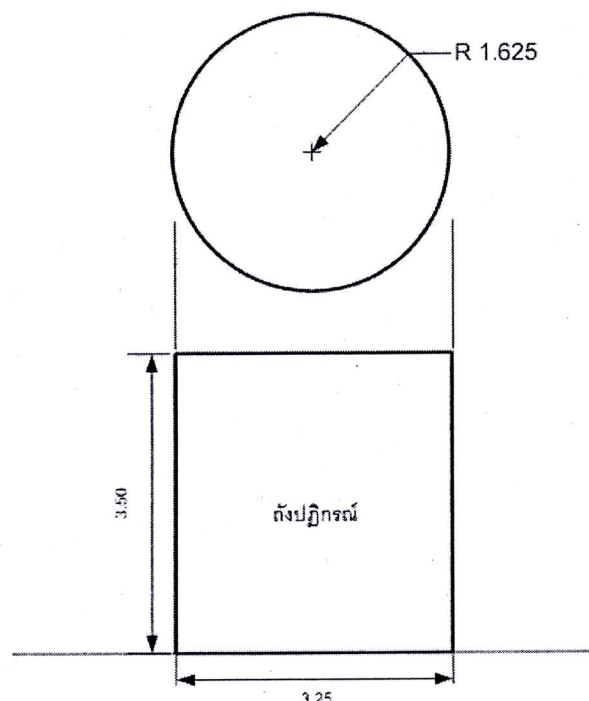
V คือปริมาตรถังปฏิกิริยานี้ที่ต้องการ (ลบ.ม.)

Q คืออัตราการไหลของน้ำผ่านถังปฏิกิริยานี้ที่กำหนดให้ใช้เครื่องสูบน้ำขนาด 6

ลบ.ม./ชั่วโมง

เมื่อคำนวนปริมาตรถังปฏิกิริยานี้จะได้ถังปฏิกิริยานี้เป็นทรงกระบอกขนาด
เส้นผ่าศูนย์กลาง 3.25 เมตร ความสูงของระดับน้ำในถังเท่ากับ 3 เมตรและบรรดาความสูงระหว่าง
ขอบถังถึงระดับน้ำ (Free board level) เพิ่ม 0.5 เมตร ดังนั้นจะได้ถังทรงกระบอกที่มีปริมาตรรวม
คือ 29.04 ลูกบาศก์เมตรรายในติดตั้งขึ้นไฟฟ้าซึ่งทำจากอลูมิเนียมแผ่นทรงสี่เหลี่ยมจตุรัส ขนาด 1
เมตร x 1.2 เมตร x 1 มิลลิเมตร (หนา) จำนวน 4 แผ่นเชื่อมต่อกันแน่นหนาโดยใช้ไฟฟ้ากระแสตรง
AC/DC 230 Volt (Input) /12 Volt 200 A (Output) และอุปกรณ์ควบคุมการทำงานของเครื่องสูบ
น้ำและกระแสไฟฟ้าที่จ่ายให้กับขั้วไฟฟ้าโดยภาพ top view และ front view ของถังแสดงในภาพที่

4.12



ภาพที่ 4.12 top view และ front view ของถังปฏิกิริยาน์ Electro-coagulation

ถังตักตะกอน

ถังตักตะกอนที่ผู้วิจัยได้ทำการออกแบบไว้มีลักษณะดังภาพที่ 4.3 โดยเป็นถังตักตะกอนทรงสี่เหลี่ยมซึ่งมีรายละเอียดการคำนวณดังนี้

-อัตราการใช้น้ำ 120 ลบ.ม.ต่อวัน

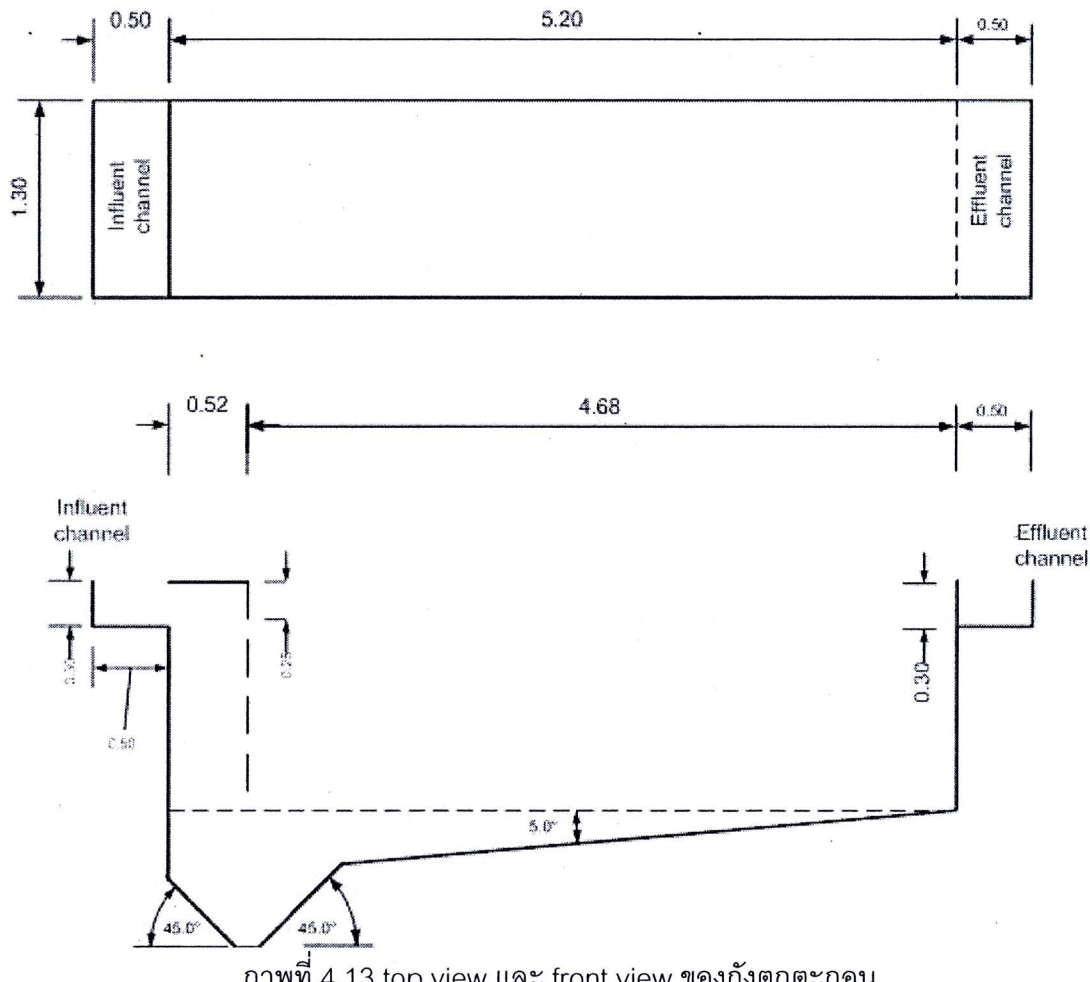
-อัตราน้ำล้น (Overflow rate) สำหรับสารก่อตะกอนประเภทสารสัม 20-25

ลบ.ม./ตร.ม./วัน โดยในที่นี่เลือกใช้ $20 \text{ m}^3/\text{m}^2/\text{วัน}$ (Reynolds and Richards, 1996)

-อัตราส่วนความกว้างต่อความยาว ($W:L$) = 1:3 ถึง 1:4 ในที่นี่เลือกใช้ 1:4

-ระดับความลึกของถังตักตะกอนใช้อัตราส่วน ความกว้าง:ความลึก = 1:1 ถึง 2.25:1
ในที่นี่เลือกใช้ 1:1

ถังตักตะกอนที่ออกแบบจะมีขนาด กว้าง \times ยาว \times สูงเท่ากับ 1.3 เมตร \times 5.2 เมตร \times 2 เมตร โดยมีร่างรับน้ำเข้าขนาด กว้าง 0.5 เมตร ความสูงของร่างรับน้ำเข้า 0.3 เมตร ตลอดด้านกว้างของถังเมื่อน้ำไหลมาที่ร่างรับน้ำเข้าถังตักตะกอนจะเหลือผ่านช่องสี่เหลี่ยมที่มีขนาด 0.25 เมตร ที่ออกแบบเพื่อให้มีการกระจายน้ำเข้าสู่ถังตักตะกอนอย่างสม่ำเสมอ โดยมีระยะเวลาการตักตะกอน 2 ชั่วโมง จากนั้นน้ำส่วนที่จะไหลผ่านฝายน้ำล้นแบบสามเหลี่ยมมุม 90 องศา (V-notch weir 90°) ทั้งหมด 11 ฝายตลอดแนวความกว้างของถังตักตะกอน สำหรับพื้นของถังตักตะกอน กำหนดให้มีความลาดเอียง 5 องศาเพื่อให้ตะกอนไหลลงรวมในหลุมเก็บตะกอนที่มีความลาดเอียง 45 องศา ตลอดแนวด้านกว้างของถังโดยไม่ต้องมีเครื่องกวาดตะกอนที่กันถัง ดังภาพที่ 4.13 ซึ่งมีรายละเอียดการคำนวณดังนี้



ภาพที่ 4.13 top view และ front view ของถังตักตะกอน

การคำนวณขนาดของถังตักตะกอน

การคำนวณขนาดถังตักตะกอนเริ่มจากการคำนวณพื้นที่ของถังตักตะกอนจาก

$$\text{พื้นที่ด้านบนของถังตักตะกอน} = \frac{\text{อัตราการใช้น้ำ (ลบ.ม./วัน)}}{\text{อัตราการไหลสูงสุดของสารก่อตะกอน(ลบ.ม./ตร.ม.-วัน)}} \\ = (120 \text{ ลบ.ม./วัน}) / (20 \text{ ลบ.ม./ตร.ม./วัน}) \\ = 6 \text{ ตร.ม.}}$$

จากอัตราส่วนความกว้าง : ความยาวของถังที่เหมาะสมเป็น 1:4 จึงเลือกใช้ความกว้างของถังเป็น 1.3 เมตรและ 5.2 เมตรตามลำดับ และจากอัตราส่วนความกว้างต่อความสูง (W:H) ที่เหมาะสม
ที่สุด 1:1 จึงเลือกใช้ถังที่มีความลึกจากก้นถังถึงระดับผิวน้ำเท่ากับ 1.3 เมตรเช่นเดียวกับความกว้าง

ของถังโดยยังไม่รวมความสูงจากระดับผิวน้ำถึงขอบของถังต่ำกว่า (Free board level) ที่เพื่อไว้ อีก 0.5 เมตร จะได้ถังต่ำกว่าที่มีปริมาตร

$$1.3 \text{ ม.} \times 5.2 \text{ ม.} \times 1.3 \text{ ม.} = 8.788 \text{ ลบ.ม.}$$

เมื่อตรวจสอบอัตราการล้นของถัง (Overflow rate) ซึ่งเท่ากับ $\frac{\text{อัตราการใช้น้ำ (ลบ.ม./วัน)}}{\text{พื้นที่ด้านบนของถังต่ำกว่า (ตร.ม.)}}$

$$\frac{120(\text{ลบ.ม./วัน})}{(1.3 \times 5.2)(\text{ตร.ม.})} = 17.751 \text{ ลบ.ม./ตร.ม.-วัน}$$

ซึ่งมีค่าน้อยกว่า 20 ลบ.ม./ตร.ม.-วัน แสดงถ้วนความยาวของถังมีความยาวเพียงพอที่ทำให้น้ำจะไม่ไหลเร็วเกินไปจน ต่ำกว่า 20 ซึ่งแสดงให้เห็นว่าความยาวของถังมีความยาวเพียงพอที่ทำให้น้ำจะไม่ไหลเร็วเกินไปจน ต่ำกว่า 20

ระยะเวลาที่น้ำอยู่ในถังต่ำกว่า

คำนวณระยะเวลาที่น้ำอยู่ในถังต่ำกว่า (Hydraulic retention time: HRT) จาก

$$\text{เวลาในการกักเก็บน้ำในถัง (ชม.)} = \frac{\text{ปริมาตรถังต่ำกว่า (ลบ.ม.)}}{\text{อัตราการใช้น้ำเฉลี่ย (ลบ.ม./ชั่วโมง)}}$$

$$= \frac{(8.788 \times 24)}{120}$$

$$= 1.757 \text{ ชั่วโมง}$$

ซึ่งมากกว่าระยะเวลาต่ำกว่า 1 ชั่วโมง แต่จากข้อกำหนดการออกแบบที่ต้องต่ำกว่าถังต่ำกว่า 2-4 ชั่วโมง ดังนั้นจึงปรับเพิ่มความลึก ของถังต่ำกว่าเป็น 1.5 เมตรเพื่อให้ระยะเวลาที่น้ำอยู่ในถังต่ำกว่าเป็น 2 ชั่วโมง ทำให้

ปริมาตรของถังตักตะกอนที่ระดับความลึกของน้ำในถัง 1.5 เมตรเป็น 10.14 ลบ.ม. และมีความเร็วในการไหลของน้ำในถังตักตะกอนสามารถคำนวณได้ดังนี้

$$\frac{\text{ปริมาตรถังตักตะกอน(ลบ.ม.)}}{\text{HRT(ชั่วโมง)} \times \text{ความยาวถัง(ม.)} \times \text{สูงของระดับน้ำในถัง(ม.)}} = \frac{10.14}{2.028 \times 1.5 \times 5.2} = 0.6410 \text{ เมตร/ชั่วโมง}$$

โดยกำหนดให้ความลาดเอียงของกันถังตักตะกอน 5° จากพื้นระดับและให้หลุมเก็บตะกอน มีความลาดเอียงอย่างน้อย 45° โดยไม่มีอุปกรณ์กวาดตะกอนที่พื้นด้านล่างของถังตักตะกอน

4.5 การวิเคราะห์ด้านเศรษฐศาสตร์

การวิเคราะห์ทางด้านเศรษฐศาสตร์ทำโดยประเมินค่าใช้จ่ายในการปรับปรุงคุณภาพน้ำบาดาลเพื่อใช้ในระดับอุตสาหกรรมที่มีความต้องการใช้น้ำ 120 ลบ.ม./วัน ด้วยวิธีกรองทราย ดูดซับด้วยคาร์บอน และแลกเปลี่ยนประจุด้วยเรซิน เปรียบเทียบกับวิธี Electro-coagulation โดยแสดงในรูปของมูลค่าปัจจุบัน (Present value) เมื่อกำหนดให้อายุการใช้งานของอุปกรณ์สามารถใช้ได้นาน 7 ปี โดยมีระยะเวลาการทำงาน 8,640 ชั่วโมง/ปี ใช้อัตราดอกเบี้ย MLR ร้อยละ 6.12 ต่อปี (ธนาคารไทยพาณิชย์, 4 ธันวาคม 2553) และกำหนดให้มูลค่าซากของอุปกรณ์เมื่อสิ้นอายุการใช้งานแล้วไม่มีมูลค่าหรือเท่ากับ 0 บาท ดังแสดงในรายละเอียดดังนี้

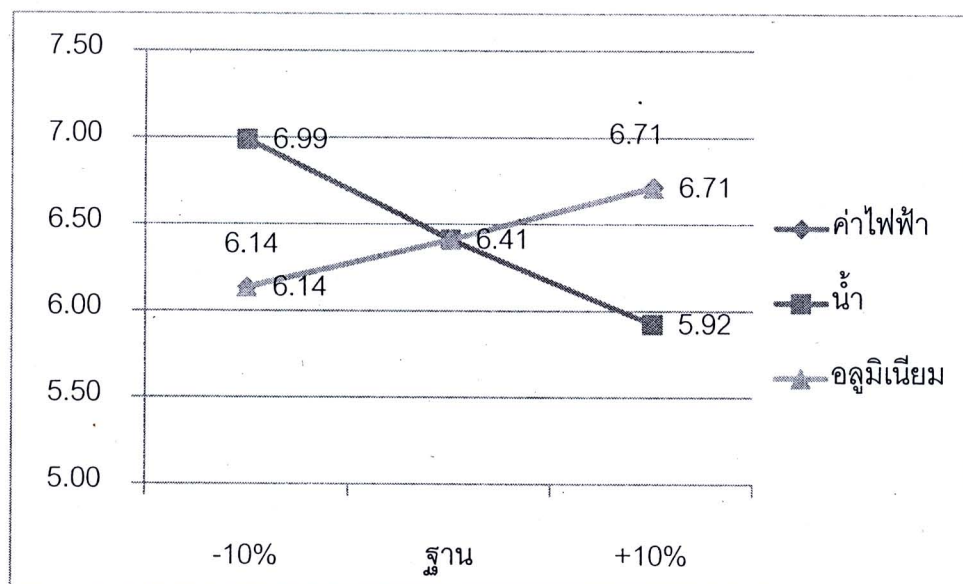
- ค่าแรงสำหรับพนักงานคูและระบบในวันทำงานปกติชั่วโมงละ 50 บาท
- ค่าไฟฟ้า 3 บาท/กิโลวัตต์
- ค่าน้ำสำหรับทำความสะอาดอุปกรณ์ 20.325 บาท/ลบ.ม.
- ค่าใช้จ่ายในการกำจัดตะกอนและข้าไฟฟ้าเมื่อสิ้นสุดการใช้งาน 3,000 บาท/ตัน
- ทรายสำหรับถังกรองทราย 1,112 ลิตร มูลค่า 21,746 บาท
- ถ่านกัมมันต์สำหรับถังดูดซับด้วยคาร์บอนบริษัท 1,668 ลิตร มูลค่า 52,918 บาท
- เรซินพลาสติกสำหรับถังแลกเปลี่ยนประจุบริษัท 700 ลิตร มูลค่า 37,100 บาท
- เกลือสำหรับฟื้นฟูเรซินบริษัท 36 ตัน/ปี มูลค่า 194,400 บาท

จากการคำนวณมูลค่าปัจจุบันของการปรับปรุงคุณภาพน้ำด้วยวิธี Electro-coagulation ดังสมมติฐานข้างต้น มีมูลค่าปัจจุบันเท่ากับ 4,572,020.18 บาท มูลค่าปัจจุบันของการปรับปรุงคุณภาพน้ำด้วยการกรองทราย ดูดซับด้วยคาร์บอนและแลกเปลี่ยนประจุด้วยเรซินมีค่าเท่ากับ 5,992,178.03 บาท จะเห็นว่าการปรับปรุงคุณภาพน้ำด้วย Electro-coagulation มีมูลค่าปัจจุบันน้อยกว่าการปรับปรุงคุณภาพน้ำแบบเดิมถึง 1,395,206.83 บาท หรือ 23.70%

การคำนวณจุดคุ้มทุนในการนำ Electro-coagulation มาใช้ทดแทนการปรับปรุงคุณภาพน้ำแบบเดิมโดยคำนวณจากการประมาณราคาอุปกรณ์ต่างๆ ที่ได้จากการสอบถามผู้แทนจำหน่ายอุปกรณ์ต่างๆ ดังนี้

- เครื่องจ่ายไฟฟ้ากระแสตรง 12V/200A สายไฟฟ้าอุปกรณ์ต่างๆ และชุดควบคุมการทำงาน มูลค่า 135,000 บาท
- ตั้งปฏิกิริยา Electro-coagulation ขนาด 21 ลบ.ม. มูลค่า 200,000 บาท
- อัลูมิเนียมแผ่นมูลค่าชุดละ 2,163 บาท
- ตั้งตอกตะกอนขนาด 13.52 ลบ.ม. รวมท่อน้ำและอุปกรณ์มูลค่า 435,000 บาท
- เครื่องสูบน้ำขนาด 2.2 kw มูลค่า 57,600 บาท
- เครื่องสูบตะกอนขนาด 2.2 kw มูลค่า 75,800 บาท
- ค่าขนส่งอุปกรณ์มีมูลค่า 10% ของราคาอุปกรณ์ทั้งหมด

จากการประมาณราคาข้างต้นและค่าใช้จ่ายในการปรับปรุงคุณภาพน้ำด้วย Electro-coagulation สามารถคำนวณจุดคุ้มทุนอย่างง่ายได้เท่ากับ 6.41 ปี และเมื่อกำหนดให้ค่าใช้จ่ายบางรายการคือ ไฟฟ้า น้ำ และอัลูมิเนียม มีราคาเปลี่ยนไป $\pm 10\%$ สามารถคำนวณความอ่อนไหว (Sensitivity analysis) ดังแสดงในภาพที่ 4.14



ภาพที่ 4.14 ความอ่อนไหว (Sensitivity analysis) แสดงในรูปของจุดคุ้มทุน เมื่อราคาไฟฟ้า น้ำ และอัลูมิเนียมแผ่นเปลี่ยนแปลง

จากการวิเคราะห์ความอ่อนไหว (Sensitivity Analysis) ของการเปลี่ยนแปลงราคา น้ำสำหรับใช้ในการบำบัดรักษาเครื่องจักรมีผลต่อการเปลี่ยนแปลงจุดคุ้มทุนมากที่สุดเนื่องจากการปรับปรุงคุณภาพน้ำด้วย Electro-coagulation ให้น้ำบริมาณน้อยกว่าการปรับปรุงคุณภาพน้ำด้วย การกรองทราย ดูดซับด้วยคาร์บอนและแลกเปลี่ยนประจุด้วยเรชินถึง 17 เท่า ดังนั้นการที่ราคาน้ำ สูงขึ้นย่อมส่งผลดีต่อ Electro-coagulation โดยระยะเวลาคืนทุนจะลดลงจาก 6.41 ปีเหลือ 6.14 ปี

ปัจจัยที่ส่งผลต่อจุดคุ้มทุนในลำดับถัดไปคือค่าไฟฟ้าและราคาอัลูมิเนียมแผ่น ตามลำดับ เนื่องจากกระบวนการ Electro-coagulation ต้องใช้พลังงานไฟฟ้าและอัลูมิเนียมเป็น หลักในการปรับปรุงคุณภาพน้ำเพื่อทดสอบสารกรองทราย ควรบ่อน เรชินสำหรับแลกเปลี่ยนประจุ และน้ำรวมทั้งสารละลายเกลือในการบำบัดรักษาสารกรองต่างๆ ด้วย ดังนั้น Electro-coagulation จึงเหมาะสมกับโรงงานที่มีระบบผลิตไฟฟ้าใช้เองหรือมีแหล่งพลังงานทางเลือกอื่นที่ทำให้ราคาไฟฟ้าถูกลงเนื่องจากราคาไฟฟ้าที่ไม่สูงจะให้ระยะเวลาคืนทุนสั้นลง

จากภาพที่ 4.14 เมื่อพิจารณาจุดคุ้มทุนเมื่อราคาไฟฟ้าและอัลูมิเนียมลดลง 10% และเพิ่มขึ้น 10% จะเห็นว่ามีจุดคุ้มทุนเท่ากันคือ 6.14 และ 6.71 ปีตามลำดับเนื่องจากผลต่างของ มูลค่าปัจจุบันของค่าไฟฟ้าสำหรับระบบปรับปรุงคุณภาพน้ำด้วย Electro-coagulation และระบบ

กรองทราย ดูดซับด้วยคาร์บอนและแลกเปลี่ยนประจุด้วยเรซินที่เพิ่มขึ้น 10% นั้นมีค่าเท่ากับมูลค่าปัจจุบันของอัญมณีเนียมแ芬ที่เพิ่มขึ้น 10% จึงทำให้ดูดคุ้มทุนมีค่าเท่ากัน

4.6 การใช้พลังงานไฟฟ้าและน้ำในขั้นตอนการปรับปรุงคุณภาพน้ำ

บริมาณการใช้พลังงานไฟฟ้าในขั้นตอนการปรับปรุงคุณภาพน้ำด้วย Electro-coagulation ส่วนใหญ่คือกระแสไฟฟ้าที่จ่ายให้กับชุดไฟฟ้ารวมถึงเครื่องสูบน้ำต่างๆ ซึ่งมากกว่าการปรับปรุงคุณภาพน้ำด้วยวิธีกรองทราย ดูดซับด้วยคาร์บอนและแลกเปลี่ยนประจุด้วยเรซินถึง 30.55 % ดังแสดงในตารางที่ 4.10 แต่การใช้พลังงานไฟฟ้าที่มากขึ้นนี้ก็เพื่อทดแทนสารตัวกลางต่างๆ คือทราย คาร์บอนและเรซินแลกเปลี่ยนประจุ รวมทั้งเกลือและน้ำที่ใช้ในกระบวนการกรองฟื้นฟูสภาพเรซิน และการล้างย้อนเพื่อทำความสะอาดสารกรองด้วย

ตารางที่ 4.11 การใช้พลังงานไฟฟ้าในขั้นตอนการปรับปรุงคุณภาพน้ำด้วย (a) วิธีกรองด้วยทราย ดูดซับด้วยคาร์บอนและแลกเปลี่ยนประจุด้วยเรซิน เปรียบเทียบกับ (b) วิธี Electro-coagulation

(a) การใช้พลังงานไฟฟ้าในการปรับปรุงคุณภาพน้ำด้วยวิธีกรองทราย ดูดซับด้วยคาร์บอน และแลกเปลี่ยนประจุด้วยเรซิน

อุปกรณ์ที่ใช้พลังงานไฟฟ้า	ขนาด (kw)	จำนวน	ชั่วโมงการทำงาน(ชม)	พลังงานที่ใช้(kw)
เครื่องสูบน้ำขนาด(service)	2.2	1	8,640	19,008.00
เครื่องสูบน้ำขนาด(backwash)	2.2	1	180	396.00
ห้องอุปกรณ์ควบคุมการทำงานของเครื่องสูบน้ำ	7.84	1	8,640	67,737.60
รวม				87,141.60

(b) การใช้พลังงานไฟฟ้าในการปรับปรุงคุณภาพน้ำด้วย electro-coagulation

อุปกรณ์ที่ใช้พลังงานไฟฟ้า	ขนาด (kw)	จำนวน	ชั่วโมงการทำงาน(ชม)	พลังงานที่ใช้ (kw)
ไฟฟ้าที่จ่ายให้แก่ชั่วไฟฟ้า	3.45	1	8,640	29,808.00
เครื่องสูบน้ำ (Service)	2.2	1	8,640	19,008.00
เครื่องสูบตะกอน	2.2	1	720	1,584.00
ชุดอุปกรณ์ควบคุมการทำงานของเครื่องสูบน้ำ	8.69	1	8,640	75,081.60
รวม				125,481.60

เมื่อพิจารณาการใช้น้ำพบว่าการปรับปรุงคุณภาพน้ำดาดล้วย Electro-coagulation นั้นมีการใช้น้ำสำหรับทำความสะอาดชั่วไฟฟ้าและอุปกรณ์น้อยกว่าน้ำสำหรับการนำร่องรักษาสารกรองในระบบกรองทราย ดูดซับด้วยคาร์บอนและแลกเปลี่ยนประจุด้วยเรซินถึง 17 เท่าตัวแสดงในตารางที่ 4.12

ตารางที่ 4.12 ปริมาณน้ำในการนำร่องรักษาอุปกรณ์ต่างๆ ของการปรับปรุงคุณภาพน้ำด้วย Electro-coagulation เปรียบเทียบกับการกรองทราย ดูดซับด้วยคาร์บอน และแลกเปลี่ยนประจุด้วยเรซิน

รายการ	Electro-coagulation	การกรองทราย ดูดซับด้วยคาร์บอน และแลกเปลี่ยนประจุด้วยเรซิน
ใช้ในการทำความสะอาดชั่วไฟฟ้าและอุปกรณ์	~ 2 ลบ.ม. ต่อครั้ง	-
การbackwash สารกรองทรายและคาร์บอน	-	19.5 ลบ.ม. ต่อครั้ง
การฟื้นฟูสภาพเรซิน	-	14.5 ลบ.ม. ต่อครั้ง
รวม	2 ลบ.ม. ต่อครั้ง	34 ลบ.ม. ต่อครั้ง